

Méthode de Monte Carlo symbolique : application au cas de la fonction de phase

M. Roger, M. Galtier, Y. Maanane, F. André, A. Delmas

Journée d'Etude en Rayonnement Thermique

22-23 novembre 2018







- Introduction
- 2 Méthodes de Monte-Carlo symbolique (SMC)
- 3 Nouvelle approche symbolique : illustration au cas de la fonction de phase
- **4** Conclusions





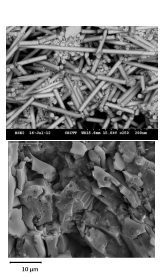




Introduction

- <u>Contexte</u>: Identification expérimentale des propriétés radiatives de matériaux à haute-température
- Monte-Carlo Symbolique (SMC): outil d'analyse pour l'inversion
- Roger M., Galtier M., André F., Delmas A., Symbolic Monte Carlo methods: an analysis tool for the experimental identification of radiative properties at high-temperature, CTRPM 6, 11-13th April 2018, Cascais, Portugal













Introduction

- \bullet SMC \to expression d'une grandeur comme une fonction de paramètres
- Un seul calcul permet une estimation de la grandeur sur tout l'espace des paramètres
 - Outil d'analyse pour le problème d'identification
- Approche pour exprimer $I_{\eta}(\mathbf{x}_0,\mathbf{u}_0) \equiv f(\kappa_{\eta},\sigma_{\eta})$
- Galtier M., Roger M., André F., Delmas A., A symbolic approach for the identification of radiative properties, JQSRT, 2017, 196,130-141
- Paramètres de la fonction de phase?









- 1 Introduction
- 2 Méthodes de Monte-Carlo symbolique (SMC)
- 3 Nouvelle approche symbolique : illustration au cas de la fonction de phase
- 4 Conclusions









Méthodes de Monte-Carlo symbolique (SMC)

- Dunn W., Inverse Monte Carlo Analysis, *J Comput Physics*, 1981, 41-154-166.
- Subramaniam, S., Mengûç P., Solution of the inverse radiation problem for inhomogeneous and anisotropically scattering media using a Monte Carlo technique. *Int J Heat Mass Transfer*, 1991, 34:253-266.
 - **Principe**: identique au Monte-Carlo standard.
- On retient sous forme symboliques des paramètres, auxquels on n'affecte aucune valeur numérique durant la simulation.
- ⇒ résultat : grandeur radiative fonction des paramètres symboliques.
 - Mêmes avantages que Monte-Carlo
 - adapté aux configurations complexes (géométrie réelle 3D, diffusion, etc.)
 - estimations des écart-types.



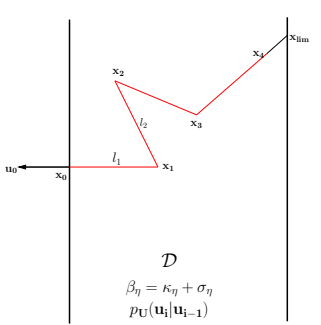






Luminance : cas d'un milieu homogène absorbant et diffusant

$$\begin{split} I_{\eta}(\mathbf{x}_{0}, \mathbf{u}_{0}) &= \int_{0}^{+\infty} \beta_{\eta} \exp \Big(-\beta_{\eta} l_{1} \Big) \bigg\{ H(\mathbf{x}_{1} \notin \mathcal{D}) I_{\eta}(\mathbf{x}_{\mathsf{lim}}, \mathbf{u}_{0}) \\ &+ H(\mathbf{x}_{1} \in \mathcal{D}) \bigg[(1 - \omega) B_{\eta} \Big(T(\mathbf{x}_{1}) \Big) + \omega \int_{4\pi} p_{\mathbf{U}}(\mathbf{u}_{1} | \mathbf{u}_{0}) I_{\eta}(\mathbf{x}_{1}, \mathbf{u}_{1}) d\mathbf{u}_{1} \bigg] dl_{1} \bigg\} \end{split}$$











$$\begin{split} I_{\eta}(\mathbf{x}_{0}, \mathbf{u}_{0}) &= \int_{0}^{+\infty} \beta_{\eta} \exp \left(-\beta_{\eta} l_{1}\right) \left\{ H(\mathbf{x}_{1} \notin \mathcal{D}) I_{\eta}(\mathbf{x}_{\mathsf{lim}}, \mathbf{u}_{0}) \right. \\ &+ H(\mathbf{x}_{1} \in \mathcal{D}) \left[(1 - \omega) B_{\eta} \Big(T(\mathbf{x}_{1}) \Big) + \omega \int_{4\pi} p_{\mathbf{U}}(\mathbf{u}_{1} | \mathbf{u}_{0}) I_{\eta}(\mathbf{x}_{1}, \mathbf{u}_{1}) d\mathbf{u}_{1} \right] dl_{1} \right\} \\ &\qquad \qquad \qquad \\ &\quad \qquad \text{Algorithme MC pour estimer } I_{\eta}(\mathbf{x}_{0}, \mathbf{u}_{0}) \end{split}$$

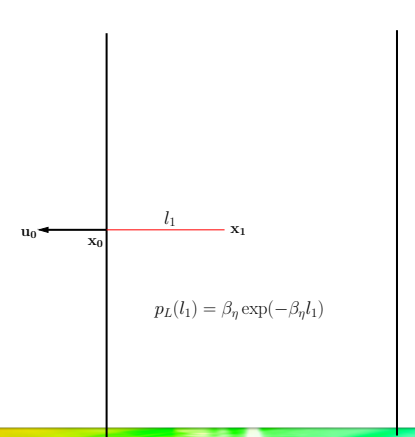
 κ_{η} , σ_{η} et $p_{\mathbf{U}}(\mathbf{u_i}|\mathbf{u_{i-1}})$







$$\begin{split} I_{\eta}(\mathbf{x}_{0}, \mathbf{u}_{0}) &= \int_{0}^{+\infty} \beta_{\eta} \exp\left(-\beta_{\eta} l_{1}\right) \bigg\{ H(\mathbf{x}_{1} \notin \mathcal{D}) I_{\eta}(\mathbf{x}_{\text{lim}}, \mathbf{u}_{0}) \\ &+ H(\mathbf{x}_{1} \in \mathcal{D}) \bigg[(1 - \omega) B_{\eta} \Big(T(\mathbf{x}_{1}) \Big) + \omega \int_{4\pi} p_{\mathbf{U}}(\mathbf{u}_{1} | \mathbf{u}_{0}) I_{\eta}(\mathbf{x}_{1}, \mathbf{u}_{1}) d\mathbf{u}_{1} \bigg] dl_{1} \bigg\} \end{split}$$
 Algorithme MC pour estimer $I_{\eta}(\mathbf{x}_{0}, \mathbf{u}_{0})$



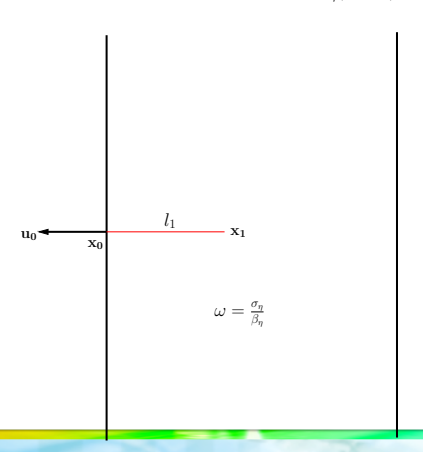








$$\begin{split} I_{\eta}(\mathbf{x}_{0}, \mathbf{u}_{0}) &= \int_{0}^{+\infty} \beta_{\eta} \exp\left(-\beta_{\eta} l_{1}\right) \bigg\{ H(\mathbf{x}_{1} \notin \mathcal{D}) I_{\eta}(\mathbf{x}_{\mathsf{lim}}, \mathbf{u}_{0}) \\ &+ H(\mathbf{x}_{1} \in \mathcal{D}) \Bigg[\frac{(1 - \omega) B_{\eta} \Big(T(\mathbf{x}_{1}) \Big) + \omega}{4\pi} \int_{4\pi} p_{\mathbf{U}}(\mathbf{u}_{1} | \mathbf{u}_{0}) I_{\eta}(\mathbf{x}_{1}, \mathbf{u}_{1}) d\mathbf{u}_{1} \Bigg] dl_{1} \bigg\} \end{split}$$
 Algorithme MC pour estimer $I_{\eta}(\mathbf{x}_{0}, \mathbf{u}_{0})$



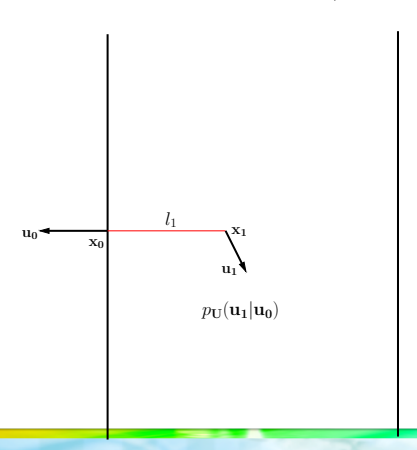








$$\begin{split} I_{\eta}(\mathbf{x}_{0}, \mathbf{u}_{0}) &= \int_{0}^{+\infty} \beta_{\eta} \exp \Big(-\beta_{\eta} l_{1} \Big) \bigg\{ H(\mathbf{x}_{1} \notin \mathcal{D}) I_{\eta}(\mathbf{x}_{\mathsf{lim}}, \mathbf{u}_{0}) \\ &+ H(\mathbf{x}_{1} \in \mathcal{D}) \bigg[(1 - \omega) B_{\eta} \Big(T(\mathbf{x}_{1}) \Big) + \omega \int_{4\pi} \frac{p_{\mathbf{U}}(\mathbf{u}_{1} | \mathbf{u}_{0}) I_{\eta}(\mathbf{x}_{1}, \mathbf{u}_{1}) d\mathbf{u}_{1} \bigg] dl_{1} \bigg\} \end{split}$$
 Algorithme MC pour estimer $I_{\eta}(\mathbf{x}_{0}, \mathbf{u}_{0})$



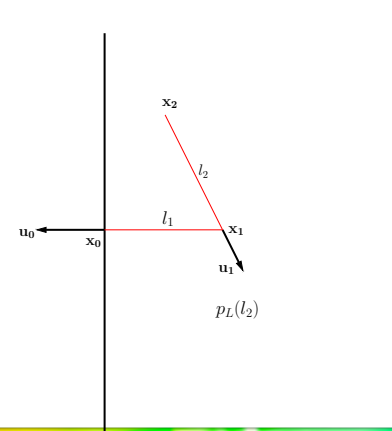








$$\begin{split} I_{\eta}(\mathbf{x}_{0}, \mathbf{u}_{0}) &= \int_{0}^{+\infty} \beta_{\eta} \exp \left(-\beta_{\eta} l_{1}\right) \bigg\{ H(\mathbf{x}_{1} \notin \mathcal{D}) I_{\eta}(\mathbf{x}_{\mathsf{lim}}, \mathbf{u}_{0}) \\ &+ H(\mathbf{x}_{1} \in \mathcal{D}) \bigg[(1 - \omega) B_{\eta} \Big(T(\mathbf{x}_{1}) \Big) + \omega \int_{4\pi} p_{\mathbf{U}}(\mathbf{u}_{1} | \mathbf{u}_{0}) I_{\eta}(\mathbf{x}_{1}, \mathbf{u}_{1}) d\mathbf{u}_{1} \bigg] dl_{1} \bigg\} \end{split}$$
 Algorithme MC pour estimer $I_{\eta}(\mathbf{x}_{0}, \mathbf{u}_{0})$



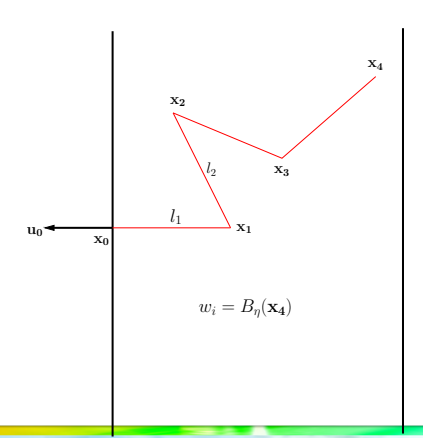








$$\begin{split} I_{\eta}(\mathbf{x}_0, \mathbf{u}_0) &= \int_0^{+\infty} \beta_{\eta} \exp\Big(-\beta_{\eta} l_1\Big) \bigg\{ H(\mathbf{x}_1 \notin \mathcal{D}) I_{\eta}(\mathbf{x}_{\text{lim}}, \mathbf{u}_0) \\ &+ H(\mathbf{x}_1 \in \mathcal{D}) \Bigg[(1 - \omega) B_{\eta} \Big(T(\mathbf{x}_1) \Big) + \omega \int_{4\pi} p_{\mathbf{U}}(\mathbf{u}_1 | \mathbf{u}_0) I_{\eta}(\mathbf{x}_1, \mathbf{u}_1) d\mathbf{u}_1 \Bigg] dl_1 \bigg\{ \end{split}$$
 Algorithme MC pour estimer $I_{\eta}(\mathbf{x}_0, \mathbf{u}_0)$











Algorithme $\forall i \in \{1, N\}$:

- f 0 génération aléatoire d'un chemin optique selon $p_L,~\omega,~p_U.$
- **2** Calcul de la position d'émission \mathbf{x}_i ou de la position de sortie du système $\mathbf{x}_{lim,i}$
- **3** Calcul de $w_i = B_{\eta}(T(\mathbf{x}_i))$ ou $w_i = I_{\eta}(\mathbf{x}_{lim,i}, \mathbf{u}_i)$ (CL)

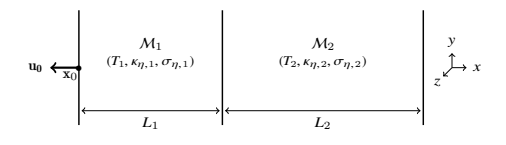
La luminance est estimée par $I_{\eta}(\mathbf{x}_0,\mathbf{u}_0) \simeq rac{1}{N} \sum_{i=1}^N w_i$







Illustration: MC avec 2 milieux différents



Monte-Carlo:

$$w_1 = B_{\eta}(T_2)$$
 $w_2 = 0$
 $w_3 = B_{\eta}(T_1)$
 \cdots
 $w_N = B_{\eta}(T_2)$

$$I_{\eta}(\mathbf{x}_{0}, \mathbf{u}_{0}) \approx \frac{1}{N} \sum_{i=1}^{N} \frac{\mathbf{w}_{i}}{\mathbf{w}_{i}}$$

$$\approx \overline{\mathbf{w}}$$

Valeur numérique

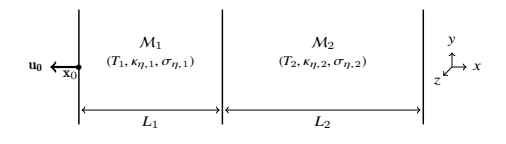








Illustration : SMC avec T_1 et T_2 inconnues



Monte-Carlo:

$$w_1 = B_{\eta}(T_2)$$

$$w_2 = 0$$

$$w_3 = B_{\eta}(T_1)$$

$$w_N = B_\eta(T_2)$$

$$I_{\eta}(\mathbf{x}_0, \mathbf{u}_0) pprox rac{1}{N} \sum_{i=1}^{N} rac{\mathbf{w}_i}{\mathbf{v}_i}$$
 $pprox \overline{\mathbf{w}}$

Valeur numérique

Monte-Carlo symbolique :

$$\begin{array}{l} w_1(T_1,T_2) = \mathbf{0} \times B_{\eta}(T_1) + \mathbf{1} \times B_{\eta}(T_2) \\ w_2(T_1,T_2) = \mathbf{0} \times B_{\eta}(T_1) + \mathbf{0} \times B_{\eta}(T_2) \\ w_3(T_1,T_2) = \mathbf{1} \times B_{\eta}(T_1) + \mathbf{0} \times B_{\eta}(T_2) \\ & \cdots \\ w_N(T_1,T_2) = \mathbf{0} \times B_{\eta}(T_1) + \mathbf{1} \times B_{\eta}(T_2) \end{array}$$

$$I_{\eta}(\mathbf{x}_{0}, \mathbf{u}_{0}; T_{1}, T_{2}) \approx \frac{1}{N} \sum_{i=1}^{N} \left[a_{i} B_{\eta}(T_{1}) + \frac{b_{i}}{b_{i}} B_{\eta}(T_{2}) \right]$$
$$\approx \overline{a} B_{\eta}(T_{1}) + \overline{b} B_{\eta}(T_{2})$$

Fonction









Illustration : Luminance en fonction de températures (identif.)



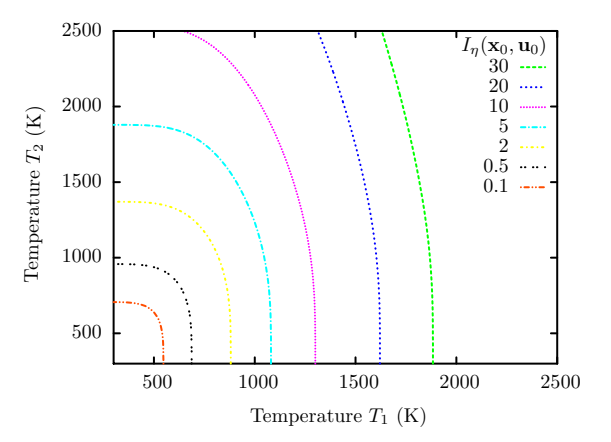


FIGURE – Luminance en fonction des températures T_1 et T_2 . Les épaisseur optiques de diffusion et d'absorption sont fixées à $au_{s,\eta}=1$ et $au_{a,\eta}=1$ pour les deux colonnes et la diffusion est considérée isotrope.

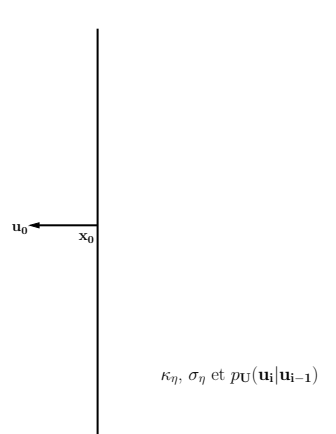












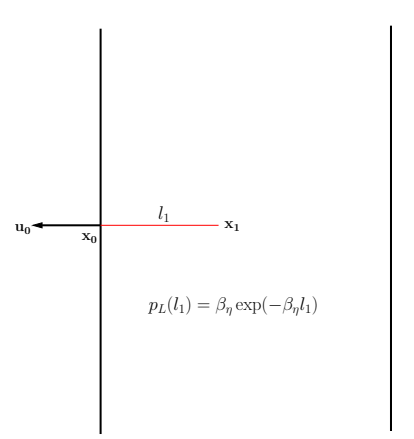










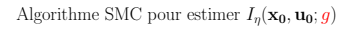


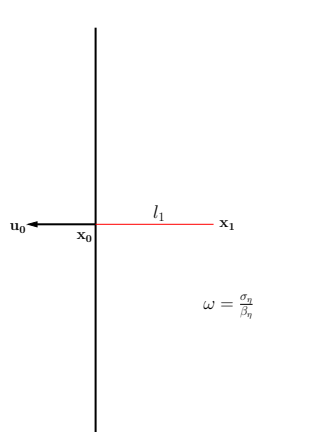










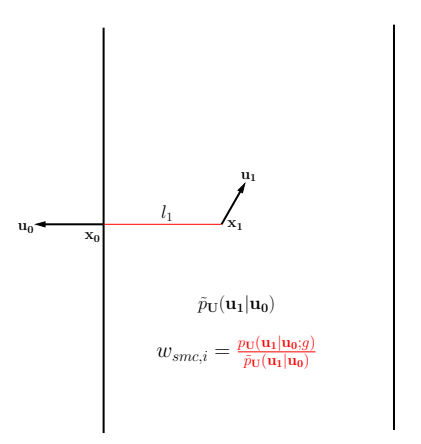








Algorithme SMC pour estimer $I_{\eta}(\mathbf{x_0}, \mathbf{u_0}; \mathbf{g})$



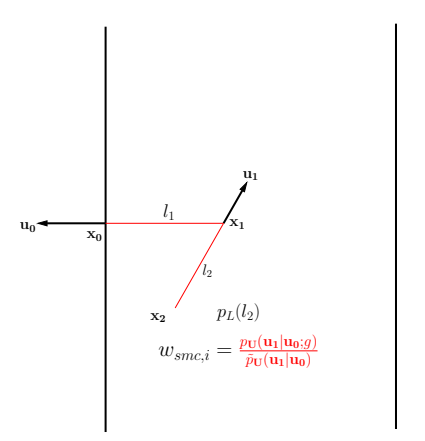












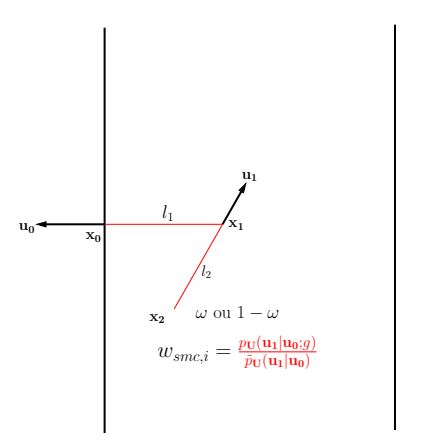












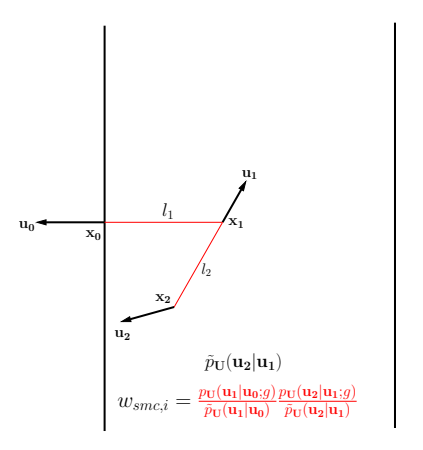












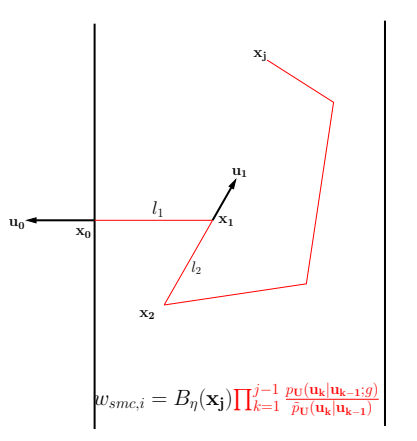








Algorithme SMC pour estimer $I_{\eta}(\mathbf{x_0}, \mathbf{u_0}; \mathbf{g})$









$$I_{\eta}(\mathbf{x}_0, \mathbf{u}_0; \mathbf{g}) \simeq \frac{1}{N} \sum_{i=1}^{N} w_{smc,i} = \frac{1}{N} \sum_{i=1}^{N} w_i \prod_{k=1}^{a_i} \frac{p_{\mathbf{U}}(\mathbf{u}_k | \mathbf{u}_{k-1}; \mathbf{g})}{\tilde{p}_{\mathbf{U}}}$$

• Fonction de phase linéaire anisotrope : $P_{\mathbf{U}}(\mathbf{u_1} \cdot \mathbf{u_0}) = \frac{1+3g\cos\theta_1}{4\pi}$

si
$$\tilde{p}_{\mathbf{U}} = \frac{1}{4\pi}$$
 $I_{\eta}(\mathbf{x}_{0}, \mathbf{u}_{0}; \mathbf{g}) \simeq \frac{1}{N} \sum_{i=1}^{N} w_{i} \prod_{k=1}^{d_{i}} (1 + 3\mathbf{g} \cos \theta_{k})$ $\simeq \frac{1}{N} \sum_{i=1}^{N} a_{0,i} + a_{1,i}\mathbf{g} + a_{2,i}\mathbf{g}^{2} + \cdots$

• Polynome : $I_{\eta}(\mathbf{x}_0,\mathbf{u}_0;g) = \sum_{n=0}^{d_{\mathsf{max}}} \overline{a}_n g^n$ où $\overline{a}_n = \frac{1}{N} \sum_{i=1}^N a_{n,i}$

Subramaniam, S., Mengûç P., Solution of the inverse radiation problem for inhomogeneous and anisotropically scattering media using a Monte Carlo technique. *Int J Heat Mass Transfer*, 1991, 34:253-266.









$$I_{\eta}(\mathbf{x}_0, \mathbf{u}_0; \mathbf{g}) \simeq \frac{1}{N} \sum_{i=1}^{N} w_{smc,i} = \frac{1}{N} \sum_{i=1}^{N} w_i \prod_{k=1}^{d_i} \frac{p_{\mathbf{U}}(\mathbf{u}_k | \mathbf{u}_{k-1}; \mathbf{g})}{\tilde{p}_{\mathbf{U}}}$$

• Fonction de phase linéaire anisotrope : $P_{\mathbf{U}}(\mathbf{u_1}\cdot\mathbf{u_0}) = \frac{1+3g\cos\theta_1}{4\pi}$

$$\operatorname{si} \tilde{p}_{\mathbf{U}} = \frac{1}{4\pi} \qquad I_{\eta}(\mathbf{x}_{0}, \mathbf{u}_{0}; \mathbf{g}) \simeq \frac{1}{N} \sum_{i=1}^{N} w_{i} \prod_{k=1}^{a_{i}} \left(1 + 3\mathbf{g} \cos \theta_{k} \right)$$
$$\simeq \frac{1}{N} \sum_{i=1}^{N} a_{0,i} + a_{1,i}\mathbf{g} + a_{2,i}\mathbf{g}^{2} + \cdots$$

• Polynome : $I_{\eta}(\mathbf{x}_0,\mathbf{u}_0;g) = \sum_{n=0}^{d_{\mathsf{max}}} \overline{a}_n g^n$ où $\overline{a}_n = \frac{1}{N} \sum_{i=1}^N a_{n,i}$

🖹 Subramaniam, S., Mengûç P., Solution of the inverse radiation problem for inhomogeneous and anisotropically scattering media using a Monte Carlo technique. *Int J Heat Mass Transfer*, 1991, 34:253-266.









$$I_{\eta}(\mathbf{x}_0, \mathbf{u}_0; \mathbf{g}) \simeq \frac{1}{N} \sum_{i=1}^{N} w_{smc,i} = \frac{1}{N} \sum_{i=1}^{N} w_i \prod_{k=1}^{d_i} \frac{p_{\mathbf{U}}(\mathbf{u}_k | \mathbf{u}_{k-1}; \mathbf{g})}{\tilde{p}_{\mathbf{U}}}$$

• Fonction de phase linéaire anisotrope : $P_{\mathbf{U}}(\mathbf{u_1}\cdot\mathbf{u_0})=rac{1+3g\cos heta_1}{4\pi}$

$$\operatorname{si} \tilde{p}_{\mathbf{U}} = \frac{1}{4\pi} \qquad I_{\eta}(\mathbf{x}_{0}, \mathbf{u}_{0}; \mathbf{g}) \simeq \frac{1}{N} \sum_{i=1}^{N} w_{i} \prod_{k=1}^{d_{i}} \left(1 + 3\mathbf{g} \cos \theta_{k}\right)$$
$$\simeq \frac{1}{N} \sum_{i=1}^{N} a_{0,i} + a_{1,i}\mathbf{g} + a_{2,i}\mathbf{g}^{2} + \cdots$$

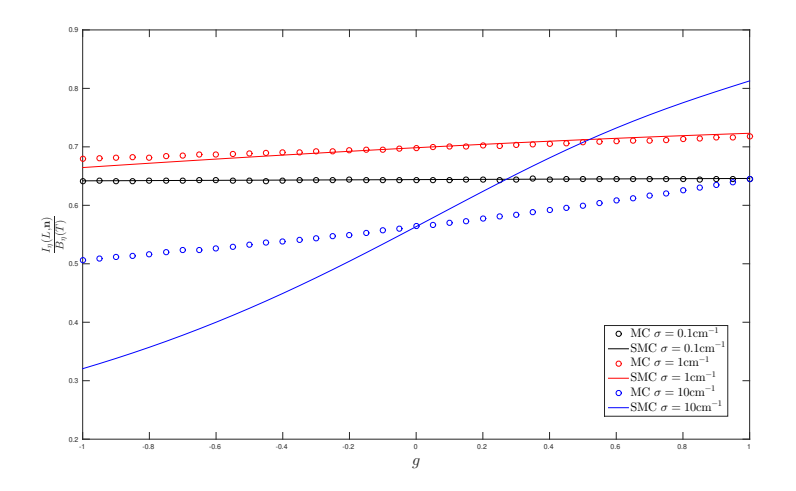
- Polynome : $I_{\eta}(\mathbf{x}_0,\mathbf{u}_0; \mathbf{g}) = \sum_{n=0}^{d_{\mathsf{max}}} \overline{a}_n \mathbf{g}^n$ où $\overline{a}_n = \frac{1}{N} \sum_{i=1}^N a_{n,i}$
- **Subramaniam, S., Mengûç P.**, Solution of the inverse radiation problem for inhomogeneous and anisotropically scattering media using a Monte Carlo technique. *Int J Heat Mass Transfer*, 1991, 34:253-266.











 ${
m FIGURE} - I_{\eta}(g)$ dans une couche d'épaisseur L=1cm, $\kappa_{\eta}=1$ cm $^{-1}$









Fonction de phase Henyey-Greenstein

Fonction de phase Henyey-Greenstein :

$$P_{\mathbf{U}}(\cos \theta) = \frac{1}{4\pi} \frac{1 - g^2}{(1 + g^2 - 2g\cos \theta)^{\frac{2}{3}}}$$

Impossibilité d'appliquer SMC classique :

$$I_{\eta}(\mathbf{x}_0, \mathbf{u}_0; \mathbf{g}) \simeq \frac{1}{N} \sum_{i=1}^{N} w_i \prod_{k=1}^{d_i} \frac{1 - \mathbf{g}^2}{(1 + \mathbf{g}^2 - 2\mathbf{g}\cos\theta_k)^{\frac{2}{3}}}$$

ne peut pas être simplifiée

Proposition d'une approche symbolique différente





- 1 Introduction
- Méthodes de Monte-Carlo symbolique (SMC)
- 3 Nouvelle approche symbolique : illustration au cas de la fonction de phase
- 4 Conclusions









Projection sur une base de polynomes orthogonaux

On impose l'expression polynomiale de la luminance :

$$I_{\eta}(\mathbf{x}_0, \mathbf{u}_0; \mathbf{g}) = \sum_{n=0}^{d} a_n P_n(\mathbf{g})$$

où P_n sont des polynomes orthogonaux et d est fixé

• Cas des polynomes de **Legendre** :

$$\langle P_n P_m \rangle = \frac{1}{2} \int_{-1}^1 P_n(g) P_m(g) dg = \frac{\delta_{nm}}{2n+1}$$

• a_n est déduit de $\langle I_{\eta}(\mathbf{x}_0, \mathbf{u}_0; g) P_n(g) \rangle$:

$$\langle I_{\eta}(\mathbf{x}_0, \mathbf{u}_0; g) P_n(g) \rangle = \frac{1}{2} \int_{-1}^{1} \sum_{m=0}^{d} a_m P_m(g) P_n(g) dg$$
$$= \sum_{m=0}^{d} a_m \left[\frac{1}{2} \int_{-1}^{1} P_m(g) P_n(g) dg \right] = \frac{a_n}{2n+1}$$









Projection sur une base de polynomes orthogonaux

On impose l'expression polynomiale de la luminance :

$$I_{\eta}(\mathbf{x}_0, \mathbf{u}_0; \mathbf{g}) = \sum_{n=0}^{a} a_n P_n(\mathbf{g})$$

où P_n sont des polynomes orthogonaux et d est fixé

Cas des polynomes de Legendre :

$$\langle P_n P_m \rangle = \frac{1}{2} \int_{-1}^1 P_n(g) P_m(g) dg = \frac{\delta_{nm}}{2n+1}$$

• a_n est déduit de $\langle I_{\eta}(\mathbf{x}_0, \mathbf{u}_0; g) P_n(g) \rangle$:

$$\begin{split} \langle I_{\eta}(\mathbf{x}_0, \mathbf{u}_0; g) P_n(g) \rangle &= \frac{1}{2} \int_{-1}^1 \sum_{m=0}^d a_m P_m(g) P_n(g) dg \\ &= \sum_{m=0}^d a_m \left[\frac{1}{2} \int_{-1}^1 P_m(g) P_n(g) dg \right] = \frac{a_n}{2n-1} \end{split}$$









Projection sur une base de polynomes orthogonaux

On impose l'expression polynomiale de la luminance :

$$I_{\eta}(\mathbf{x}_0, \mathbf{u}_0; \mathbf{g}) = \sum_{n=0}^{a} a_n P_n(\mathbf{g})$$

où P_n sont des polynomes orthogonaux et d est fixé

Cas des polynomes de Legendre :

$$\langle P_n P_m \rangle = \frac{1}{2} \int_{-1}^1 P_n(g) P_m(g) dg = \frac{\delta_{nm}}{2n+1}$$

• a_n est déduit de $\langle I_n(\mathbf{x}_0,\mathbf{u}_0;g)P_n(g)\rangle$:

$$\langle I_{\eta}(\mathbf{x}_0, \mathbf{u}_0; g) P_n(g) \rangle = \frac{1}{2} \int_{-1}^{1} \sum_{m=0}^{d} a_m P_m(g) P_n(g) dg$$
$$= \sum_{m=0}^{d} a_m \left[\frac{1}{2} \int_{-1}^{1} P_m(g) P_n(g) dg \right] = \frac{a_n}{2n+1}$$









Calcul des coefficients a_n par Monte-Carlo

• a_n s'exprime donc par :

$$\begin{array}{lcl} a_n & = & (2n+1)\langle I_{\eta}(\mathbf{x}_0,\mathbf{u}_0;g)P_n(g)\rangle \\ & = & (2n+1)\frac{1}{2}\int_{-1}^1 I_{\eta}(\mathbf{x}_0,\mathbf{u}_0;\tilde{g})P_n(\tilde{g})d\tilde{g} \end{array}$$

• On introduit a_n dans $I_{\eta}(\mathbf{x}_0,\mathbf{u}_0; \boldsymbol{g})$:

$$I_{\eta}(\mathbf{x}_{0}, \mathbf{u}_{0}; g) = \sum_{n=0}^{d} \left[(2n+1) \frac{1}{2} \int_{-1}^{1} I_{\eta}(\mathbf{x}_{0}, \mathbf{u}_{0}; \tilde{g}) P_{n}(\tilde{g}) d\tilde{g} \right] P_{n}(g)$$

$$= \int_{-1}^{1} \frac{1}{2} I_{\eta}(\mathbf{x}_{0}, \mathbf{u}_{0}; \tilde{g}) \sum_{n=0}^{d} \left[(2n+1) P_{n}(\tilde{g}) d\tilde{g} \right] P_{n}(g)$$









Calcul des coefficients a_n par Monte-Carlo

• a_n s'exprime donc par :

$$\begin{array}{lcl} a_n & = & (2n+1)\langle I_{\eta}(\mathbf{x}_0,\mathbf{u}_0;g)P_n(g)\rangle \\ & = & (2n+1)\frac{1}{2}\int_{-1}^1 I_{\eta}(\mathbf{x}_0,\mathbf{u}_0;\tilde{g})P_n(\tilde{g})d\tilde{g} \end{array}$$

• On introduit a_n dans $I_{\eta}(\mathbf{x}_0, \mathbf{u}_0; \mathbf{g})$:

$$I_{\eta}(\mathbf{x}_{0}, \mathbf{u}_{0}; g) = \sum_{n=0}^{d} \left[(2n+1) \frac{1}{2} \int_{-1}^{1} I_{\eta}(\mathbf{x}_{0}, \mathbf{u}_{0}; \tilde{g}) P_{n}(\tilde{g}) d\tilde{g} \right] P_{n}(g)$$

$$= \int_{-1}^{1} \frac{1}{2} I_{\eta}(\mathbf{x}_{0}, \mathbf{u}_{0}; \tilde{g}) \sum_{n=0}^{d} \left[(2n+1) P_{n}(\tilde{g}) d\tilde{g} \right] P_{n}(g)$$









$$I_{\eta}(\mathbf{x}_{0}, \mathbf{u}_{0}; \mathbf{g}) = \int_{-1}^{1} \frac{1}{2} I_{\eta}(\mathbf{x}_{0}, \mathbf{u}_{0}; \tilde{\mathbf{g}}) \sum_{n=0}^{d} (2n+1) P_{n}(\tilde{\mathbf{g}}) d\tilde{\mathbf{g}} P_{n}(\mathbf{g})$$

- $\forall i = \{1, N\}$
 - **1** génération aléatoire de \tilde{g}_i sur [-1;1] selon $p_{\tilde{G}}=\frac{1}{2}$
 - 2 Calcul du poids w_i par un algorithme de Monte-Carlo classique avec \tilde{g}_i
 - 1 génération aléatoire d'un chemin optique selon p_L , ω , p_U .
 - **2** Calcul de la position d'émission \mathbf{x}_i ou de la position de sortie du système $\mathbf{x}_{lim,i}$
 - 3 Calcul de $w_i = B_{\eta}(T(\mathbf{x}_i))$ ou $w_i = I_{\eta}(\mathbf{x}_{lim,i},\mathbf{u}_i)$ (CL)
 - 3 $\forall n \in \{0, d\}$, calcul des $a_{n,i} = w_i(2n+1)P_n(\tilde{g}_i)$
- Estimation des coefficients :

$$\forall n \in \{0, d\}$$
 $a_n \simeq \frac{1}{N} \sum_{i=1}^{N} a_{n,i}$









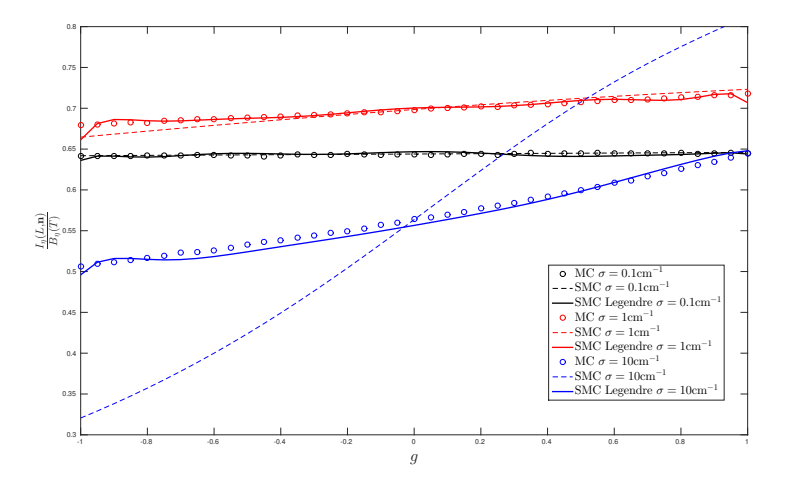


FIGURE – $I_{\eta}(\mathbf{x}_0, \mathbf{u}_0; g)$ dans une couche d'épaisseur L = 1cm, $\kappa_{\eta} = 1$ cm $^{-1}$. Degré du polynome fixé à d = 10









Fonction de phase d'Henyey-Greenstein

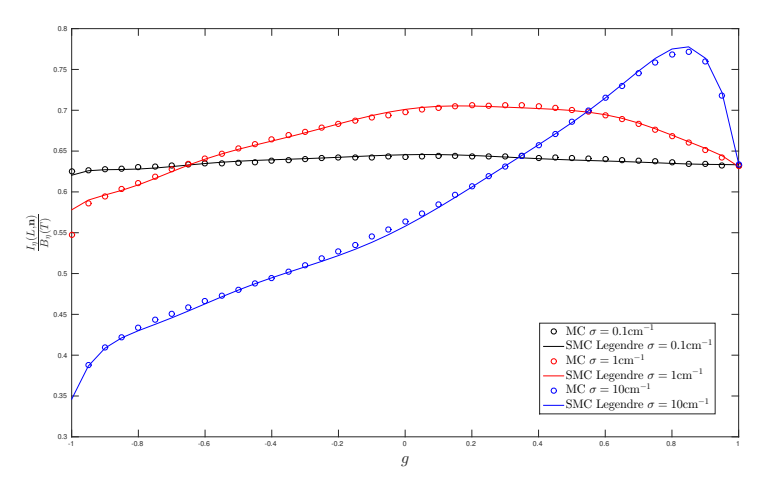


FIGURE – $I_{\eta}(\mathbf{x}_0, \mathbf{u}_0; g)$ dans une couche d'épaisseur L = 1cm, $\kappa_{\eta} = 1$ cm⁻¹. Degré du polynome fixé à d=10









- 1 Introduction
- Méthodes de Monte-Carlo symbolique (SMC)
- 3 Nouvelle approche symbolique : illustration au cas de la fonction de phase
- 4 Conclusions











- Proposition d'une nouvelle approche pour exprimer $I_{\eta}(\mathbf{x}_0, \mathbf{u}_0)$ en fonction de g.
- Inconvénient : fonction polynomiale imposée (biais sur le modèle ETR)
- Avantages :
 - Mise en oeuvre possible pour tout type de paramètres.
 - Complémentaire de l'approche symbolique classique (SMC avec κ_{η} , σ_{η} et g sous forme symbolique)
 - Mise en oeuvre possible avec une autre méthode (FEM, DOM)
- Perspectives :
 - Tests avec d'autres paramètres et d'autres types de polynomes









Merci de votre attention

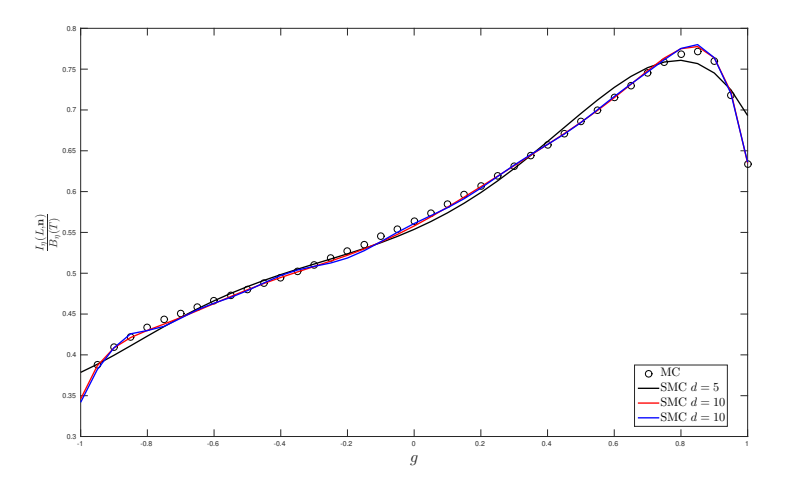








Influence du degré d du polynome



 $\text{Figure} - I_{\eta}(\mathbf{x}_0, \mathbf{u}_0; g) \text{ dans une couche d'épaisseur } L = 1 \text{cm, } \kappa_{\eta} = 1 \text{cm}^{-1} \text{ et } \sigma_{\eta} = 10 \text{cm}^{-1}.$









Influence du degré d du polynome

Identification de T_1 et T_2 à partir de trois mesures à des η différents :

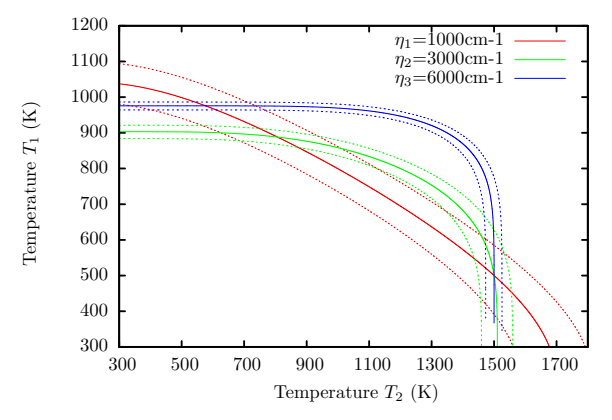


FIGURE – Luminance en fonction des températures T_1 et T_2 du milieu pour 3 valeurs de η . Des calculs directs simulent les résultats expérimentaux avec T1=500K et $T_2=1500K$. Les épaisseur optiques de diffusion et d'absorption sont fixées à $\tau_{s,\eta}=1$ et $\tau_{a,\eta}=1$ pour les deux colonnes et la diffusion est considérée isotrope.





